

## 5. PROIECTAREA GHIDAJULUI CILINDRIC CU ALUNECARE

**Ghidajul** materializează cupla cinematică de translație a barei cilindrice de susținere a piesei ce trebuie transportată, având rolul de preluare a forțelor transmise în timpul funcționării.

### 5.1. Stabilirea regimului de frecare – ungere. Materiale

La viteze medii de deplasare a părții mobile (glisiera)  $v_x < 10$  m/min, funcționarea corespunde **regimului de frecare mixtă**, cu caracter semiuscat când predomină contactul direct între suprafețele elementelor constructive ale ghidajului.

**Ungerea** se realizează manual, periodic.

**Materialele** se aleg pentru evitarea fenomenului de uzare a suprafețelor active ale ghidajelor - același material pentru:

- ghidajul propriu-zis (partea fixă) = bucșa 4 presată în carcasa 5;
- glisiera (partea mobilă)

cu durități superficiale diferite obținute prin tratament termochimic (cementare) de 52-60 HRC.

*Caracteristicile mecanice ale oțelurilor* utilizate pentru construcția ghidajelor cu alunecare sunt indicate în tabelul 5.1.

**Tabelul 5.1** Materiale pentru ghidaje cu alunecare

Material	OLC 15	OLC 20	OLC 35	OLC 45	OLC 55
$R_m$ , MPa	500	600	650	750	800
$\sigma_{aiIII}$ , MPa	45	55	65	75	85

## 5.2. Determinarea dimensiunilor ghidajelor cilindrice

Schema constructivă a ghidajului este reprezentată în figura 5.1 cu următoarele notații:

- 1 – șurub de acționare (TSPB);
- 2 – suport piulițe;
- 3 – țevă (elementul mobil al ghidajului);
- 4 – bucșă (elementul fix al ghidajului);
- 5 – carcasă (în care se presează bucșele 4);
- 6 – piesa.

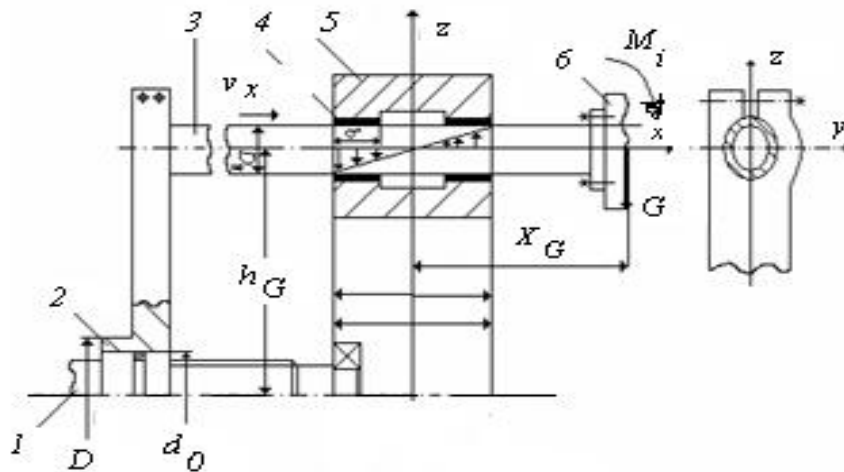


Fig. 5.1 Construcția sistemului de ghidare cilindric cu alunecare

Dimensiunile ghidajului sunt reprezentate de:

- $D_g$  – diametrul (exterior al țevii 3 – cu deplasare de translație);
- $L_g$  – lungimea totală, stabilită constructiv;
- $b_g$  – lungimea reală de contact între partea mobilă și cea fixă a ghidajului.

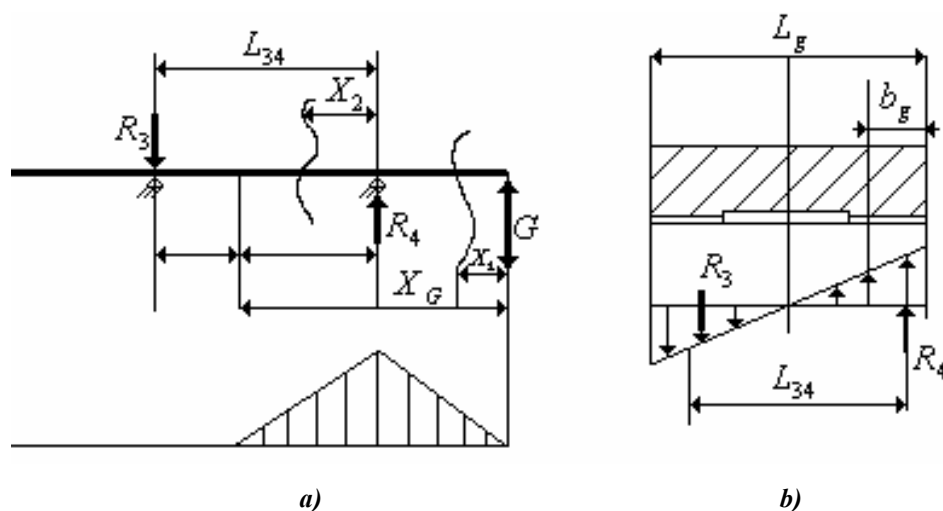
**Diametrul ghidajului**  $D_g$  se calculează din condiția de rezistență a țevii la sollicitarea de încovoiere determinată de greutatea totală  $G$  a ansamblului mobil (glisieră și piesă).

$$\text{Se admite: } G = 1,1 \cdot G_p \quad (5.1)$$

Pentru calcul se consideră schema din figura 5.2, determinând următoarele mărimi:

- *Distanța de calcul dintre reazeme:*  $L_{34} = 50 \dots 100$  mm
- *Lungimea totală a ghidajului se stabilește din condiția:*

$$L_{34} = 2 \cdot \frac{2}{3} \cdot \frac{L_g}{2} \quad \Rightarrow \quad L_g = 1,5 \cdot L_{34} \quad [\text{mm}] \quad (5.2)$$



**Fig. 5.2** Schema de încărcare a ghidajului cilindric

- *Poziția centrului de greutate:* se alege constructiv pentru situația cea mai defavorabilă – după realizarea cursei de lucru:

$$X_G = \frac{L_{34}}{2} + l_c \quad [\text{mm}] \quad (5.3)$$

- *Stabilirea încărcării ghidajului:* se consideră conform reprezentării din figura 5.2.

• *Determinarea reacțiilor*

Din condiția că tija 3 se află în echilibru sub acțiunea solicitării exterioare  $G_c$ , se determină reacțiunile în reazemele ghidajului  $R_3$  și  $R_4$  prin rezolvarea sistemului de ecuații:

$$\begin{aligned} -R_3 + R_4 - G_c &= 0 \\ R_4 \cdot L_{34} - G_c \cdot \left( X_G + \frac{L_{34}}{2} \right) &= 0 \end{aligned} \quad (5.4)$$

• *Trasarea diagramei de momente de încovoiere*

Se face pe fiecare porțiune din lungimea ghidajului la distanțele  $x_1$  și  $x_2$  față de punctele de rezemare, astfel:

$$\text{– pentru } x_1 \in \left[ 0, X_G - \frac{L_{34}}{2} \right] \quad M_i(x_1) = -G_c \cdot x_1 \quad (5.5)$$

iar valorile momentului de încovoiere la capetele intervalului sunt:

$$M_i(0) = 0;$$

$$M_i \left( X_G - \frac{L_{34}}{2} \right) = -G_c \cdot l_c$$

$$\text{– pentru } x_2 \in [0, L_{34}] \quad M_i(x_2) = -G_c \cdot \left( x_G - \frac{L_{34}}{2} + x_2 \right) \quad (5.6)$$

cu valorile:

$$M_i(0) = -G_c \cdot l_c;$$

$$M_i(L_{34}) = -G_c \cdot \left( x_G + \frac{L_{34}}{2} \right) + R_4 \cdot L_{34} = 0$$

• *Determinarea  $M_{i\max}$  care solicită ghidajul*

Se observă din diagrama de momente de încovoiere (figura 5.2, a) că valoarea cea mai mare apare la mijlocul lungimii ghidajului și este:

$$M_{i\max} = \left| -G_c \cdot \left( x_G - \frac{L_{34}}{2} \right) \right| = G_c \cdot l_c \quad (5.7)$$

Impunând condiția pentru tensiunea maximă de încovoiere:

$$\sigma_{i\max} = \frac{M_{i\max}}{W_{zz}} \leq \sigma_{aiIII} \quad (5.8)$$

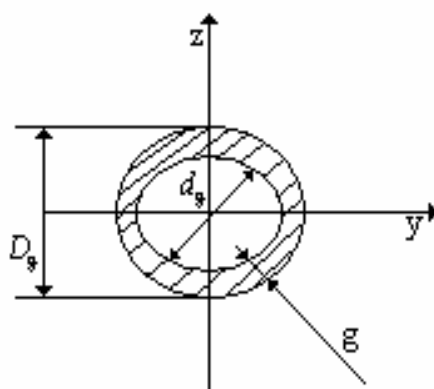
se determină modulul de rezistență axial al secțiunii transversale a ghidajului cu relația:

$$W_{zz} \geq \frac{M_{i\max}}{\sigma_{aiIII}} \quad (5.9)$$

cu:  $\sigma_{aiIII}$  – rezistența admisibilă la oboseala de încovoiere după un ciclu de solicitare alternant simetric (tabelul 5.1).

Secțiunea transversală prin ghidajul cilindric este sub formă de țevă, reprezentată în figura 5.3 în planul  $(y, z)$  și caracterizată de dimensiunile:

$d_g$  – diametrul interior,  $D_g$  – diametru exterior,  $g$  – grosimea peretelui.



**Fig. 5.3** Forma constructivă a secțiunii transversale a ghidajului cilindric

Folosind relațiile de calcul care se pot scrie între dimensiunile  $d_g, g, D_g$ :

$$d_g = D_g - 2 \cdot g \quad (5.10)$$

în care se alege  $g = 2 \dots 3$  mm și modulul de rezistență axial:

$$W_{zz} = \frac{\pi}{32} \cdot \frac{D_g^4 - d_g^4}{D_g} \quad (5.11)$$

se stabilește *diametrul exterior*  $D_g$  al ghidajului prin rezolvarea unei ecuații de gradul patru.

Dimensiunile standardizate de țevi pentru realizarea ghidajului cilindric cu alunecare sunt indicate în tabelul 5.2.

**Tabelul 5.2** Dimensiuni pentru țevi din oțel fără sudură, trase sau laminate la rece

Diametrul exterior, mm	Grosimea peretelui $g_p$ , mm								
	1	1,5	2	2,5	3	3,5	4	4,5	5
10									
12									
14									
15									
16									
18									
20									
22									
25									
28									
30									
32									
35									
38									
40									

### 5.3. Verificarea ghidajului cilindric la presiunea de contact

*Presiunea de contact* reprezentată în figura 5.2, b – distribuită liniar (triunghiular simetric) după generatoarea ghidajului cilindric, iar pe circumferință repartizarea ei este după două pânze conice – într-un punct situat la distanța  $x$  de mijlocul lungimii  $L_g$  a ghidajului este dată de:

$$\frac{p}{p_{\max}} = \frac{x}{\frac{L_g}{2}} \Rightarrow p = 2 \cdot p_{\max} \cdot \frac{x}{L_g} \quad (5.12)$$

**Momentul elementar** corespunzător presiunii  $p$  este:

$$dM_z = dF_z \cdot 2x = p \cdot dA \cdot 2x = p \cdot D_g \cdot dx \cdot 2x = 2 \cdot p \cdot D_g \cdot x \cdot dx \quad (5.13)$$

**Momentul de răsturnare** – rezultă prin integrarea lui  $dM_z$ , înlocuind presiunea cu relația (5.12):

$$\begin{aligned} M_z &= \int dM_z = 4 \cdot p_{\max} \cdot \frac{D_g}{L_g} \int_{\frac{L_g}{2} - b_g}^{\frac{L_g}{2}} x^2 \cdot dx = \\ &= \frac{4}{3} \cdot p_{\max} \cdot \frac{D_g}{L_g} \cdot x^3 \Big|_{\frac{L_g}{2} - b_g}^{\frac{L_g}{2}} = \\ &= \frac{4}{3} \cdot p_{\max} \cdot \frac{D_g}{L_g} \cdot \left[ \left( \frac{L_g}{2} \right)^3 - \left( \frac{L_g}{2} - b_g \right)^3 \right] = \\ &= p_{\max} \cdot D_g \cdot b_g \cdot \left( L_g - 2 \cdot b_g + \frac{4}{3} \cdot \frac{b_g^2}{L_g} \right) \end{aligned} \quad (5.14)$$

Când glisiera se deplasează pentru poziționarea piesei, se observă că momentul  $M_z$  este creat numai de greutatea de calcul  $G_c$ :

$$M_z = G_c \cdot x_G \quad (5.15)$$

rezultând astfel **presiunea de contact maximă** cu relația:

$$p_{\max} = \frac{M_z}{D_g \cdot b_g \cdot \left( L_g - 2 \cdot b_g + \frac{4}{3} \cdot \frac{b_g^2}{L_g} \right)} \quad (5.16)$$

Datorită solicitării neuniforme a elementului mobil, uzarea ghidajelor este mai pronunțată la capete, de aceea se recomandă realizarea suprafețelor de ghidare de lungime:

$$b_g \approx (0,3 \dots 0,35)L_g \quad (5.17)$$

**Verificarea ghidajului** constă în stabilirea inegalității:

$$p_{\max} \leq p_a \quad (5.18)$$

unde *presiunea admisibilă de contact* este determinată în funcție de materialul celor două elemente ale ghidajului. În cazul construcției din oțel a glisierii și ghidajului propriu-zis  $p_a = 3 \dots 4$  MPa.

#### **5.4. Verificarea condiției din blocare a ghidajului**

Ghidajul cilindric format din tija tubulară 3 (mobilă) și bucușă 4 (fixă) este antrenat în mișcarea de translație sub acțiunea unei forțe  $Q_x$  datorată forței axiale  $F$  din șurubul cu bile, ca în figura 5.4.

Ținând seama și de forțele de frecare  $F_f$  în ghidaj – pe suprafețele de contact – se scriu ecuațiile de echilibru pentru elementul mobil :

$$F = Q_x + 2 \cdot F_f \quad (5.19)$$

$$-F \cdot h_g + R \cdot L = 0 \quad (5.20)$$

din care rezultă:

$$R = F \cdot \frac{h_g}{L} \quad (5.21)$$

$$Q_x = F - 2 \cdot F_f \quad (5.22)$$

unde:  $F_f = \mu \cdot R$  (5.23)

$R$  – reacțiunea maximă pe ghidaj, corespunzătoare presiunii maxime:

$$R = p_{\max} \cdot D_g \cdot L_g \quad (5.24)$$



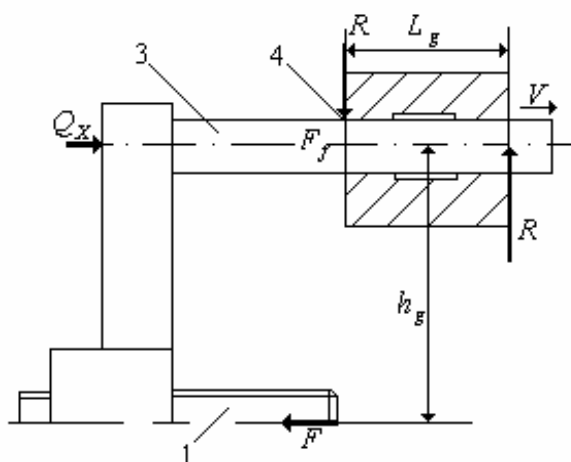


Fig. 5.4 Schema încărcării pentru verificarea ghidajului cilindric

Înlocuind cele două forțe în relația (5.22) rezultă **forța de antrenare** a ghidajului cilindric:

$$Q_x = F - 2 \cdot \mu \cdot F \cdot \frac{h_g}{L_g} = F \left( 1 - 2 \cdot \mu \cdot \frac{h_g}{L_g} \right) \quad (5.25)$$

*Blocarea* (înțepenirea) *ghidajului* se poate produce datorită alegerii incorecte a raportului dintre dimensiunile ghidajului sau dilatărilor.

Pentru evitarea blocării se asigură o lungime minimă a căii de ghidare – din condiția impusă ca mișcarea de translație a elementului mobil să fie imposibilă :

$$1 - 2 \cdot \mu \cdot \frac{h_g}{L_g} = 0 \quad \Rightarrow \quad \left( \frac{h_g}{L_g} \right)_{\text{lim}} = \frac{1}{2 \cdot \mu} \quad \Rightarrow$$

se alege:

$$\frac{h_g}{L_g} < \left( \frac{h_g}{L_g} \right)_{\text{lim}} \quad (5.26)$$

### **Calculul și construcția sistemelor mecatronice – Îndrumar de proiectare**

---

Dacă se impune un coeficient de siguranță  $c = 6,5$  (pentru ghidaje cilindrice), condiția de blocare se scrie:

$$\frac{h_g}{L_g} = \frac{1}{2 \cdot \mu \cdot c} \quad (5.27)$$

din care se calculează înălțimea ghidajului:

$$h_g = \frac{L_g}{2 \cdot \mu \cdot c} \quad (5.28)$$

în care coeficientul de frecare de alunecare este  $0,05 \dots 0,1$ .